

1. まえがき

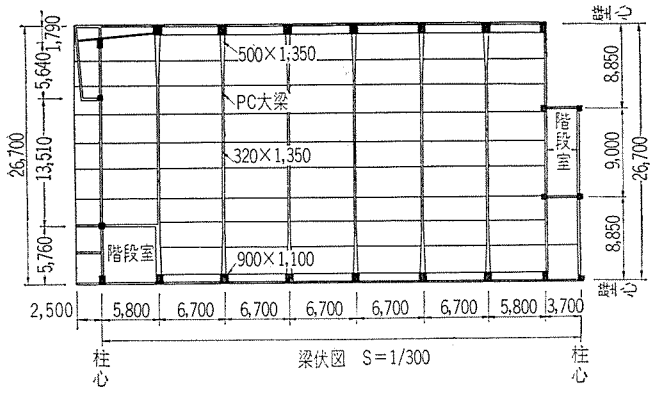
PC構造が建築部門においても、普及しつつある昨今、建築技術者にとって、その計算方法がさほどポピュラーでないことを感じ、ここに以下の実例をもとに、平易にして、かつ実用的な計算方法を、一体式PC構造の場合について読者に示したいと思う。なお、この計算例は「プレストレストコンクリート構造計算規準・同解説」「鉄筋コンクリート計算規準・同解説」にもとづき、多少著者等の考えを盛り込んである。

2. 構造概要・その他

(1) 建物概要……目黒ボーリング場

- (a) 現場打一体式PC造、地上4階、地下1階
地下1階……駐車場・倉庫・機械室
1, 2, 3階……ボーリング場
4階……集会場
- (b) 柱・小ばかり・壁・床・基礎……普通RC
大ばかり……………PC
- (c) 施工途上において、著者考案の割柱工法¹⁾を採用。
- (d) プレストレス導入方式はフレッシナー工法とし、12-7φPCケーブルを使用している。
- (e) 建物の概形およびPCばかり配置については、図-1、図-2(a), 図-2(b)に示した。

図-1



* オリエンタルコンクリートKK建築部

図-2 (a)

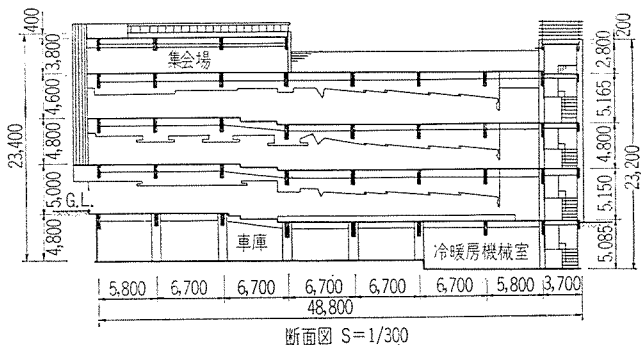
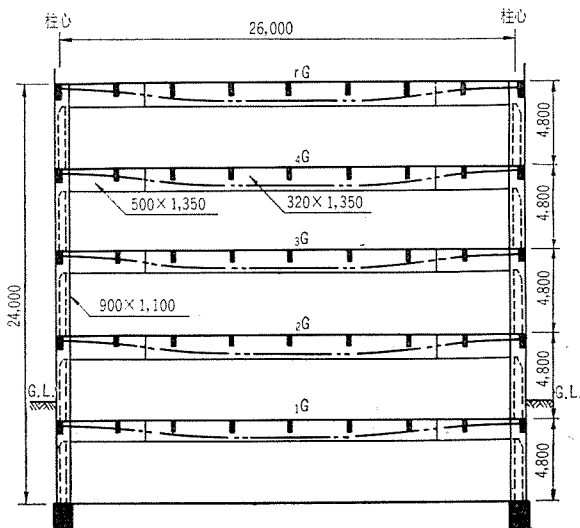


図-2 (b)



(2) PCばかりの外形の決定

通常一般的な荷重状態における構造物（倉庫など特に積載荷重の大きい場合は別として）では、はりせいを、スパンの1/18～1/25位にとるのがよい。はり幅に関しては、シースが二列に配置されるとき、中央部で24cm以上、端部で35cm以上、またシースが3列の場合には、中央部、32cm以上、端部50cm以上は必要であろう。

本例においては、中央部、135×32cm、端部、135×50cmとしている。

表-1 コンクリートの許容応力度・その他

圧縮強度	F_{28}	350 kg/cm ²
許容圧縮応力度	プレ導入時 f'_e	0.4 $F_{28}=140$
	設計荷重時 f_e	0.35 $F_{28}=122.5$
引張強度	σ_t	0.07 $F_{28}=24.5$
許容引張応力度	フルプレストレッシング f'_t	0
	パーシャルプレストレッシング f_t	0.01 $f_e \approx 12.3$
許容斜張応力度		0.07 $f_e \approx 8.6$
弾性係数		30×10^4

表-2 PC 鋼線の許容応力度・その他

引 張 強 度	6 000 kg/ea
降 伏 点 強 度	5 200
許 容 引 張 応 力	3 900 (引張強度の 65%)
伸 び	5%
弾 性 係 数	$200 \times 10^4 \text{ kg/cm}^2$

表-3 荷 重 表 kg/cm²

	屋 根			集 会 場			ボーリング場		
	自重	仕上 +L.L.	T.L.	自重	仕上 +L.L.	T.L.	自重	仕上 +L.L.	T.L.
スラブ	240	500	740	240	445	685	240	400	640
ラーメン	490	380	870	490	415	905	490	280	770
地 震	490	280	770	490	295	785	490	180	670

(3) 材料の許容応力度その他

(a) コンクリート(表-1)

(b) PC鋼線($\phi 7$)(表-2)

RC部のコンクリートもPC部とともに $F_{28}=350 \text{ kg/cm}^2$ のコンクリートを使用。

(4) 荷重表

PC構造の計算に当っては、施工時と設計荷重時に分けて検討する必要があるので、固定荷重は、コンクリート自重と仕上自重とに分けて取扱わねばならない。

なお表-3に示すラーメン用および地震用の自重は、大ばかり自重、小ばかり自重をふくむものである。

3. 準備計算

(1) ラーメン材剛比算定

本例はPC部とRC部と共に共通のコンクリート($F_c=350 \text{ kg/cm}^2$)を使用しているので、柱、はりともに弾性係数は $E_c=30 \times 10^4 \text{ kg/cm}^2$ として計算する。PC部、RC部のコンクリートが異なる場合には剛比算定に当たり、弾性係数の相違を考慮せねばならない。

またPCのT型ばかり剛比算定用の有効幅Bは、RC規準第8条によっている。さらに水平ハンチの剛比への影響はきわめて小さいのでこの場合無視することにする。

柱はプレストレス導入時に割柱の状態にある。これは柱頭の水平移動に対する抵抗をいちじるしく低下させる

表-4 PCばかり・RC柱の剛度および剛比

	$K=I/l \times 10^3 \text{ cm}^3$	k
PC 大ばかり	4.0	1
RC 柱	20.8	5.2

ものである。しかし柱頭の回転曲げ抵抗はそれほど大きく低下しないので、プレストレス導入時の剛度算定にあたり、割柱でないものと考えて実用上さしつかえない。

表-4はPCばかり、RC柱についての剛度および剛比を示している。

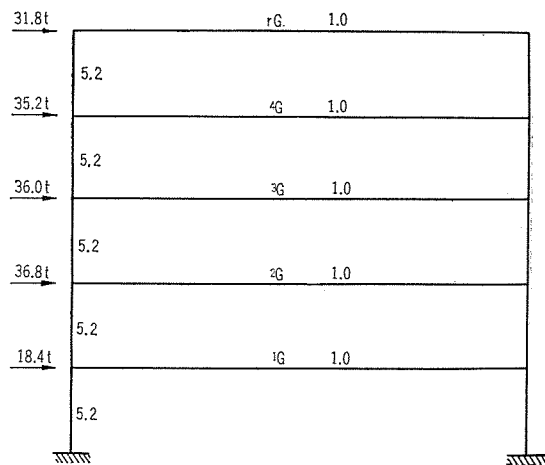
(2) 鉛直荷重時 C, M_0, Q

ここにはその結果のみを示した(表-5)。

(3) 地震時水平力算定

PCラーメン地震時水平力はおののの柱の分担荷重により震度0.2で求めた。これを図-3に示した。

図-3 地震時水平力



(4) プレストレス導入による節点回転モーメント算定

プレストレス導入により、PCばかりは材の曲げ変形、および材長の変化を起し、これらにともなって二次応力を誘発する。

二次応力算定に当り、PCばかりのT形ばかりとしての有効幅Bはその大きさにより二次応力に割合大きく影響する。以下有効幅Bの取扱いについて簡単に述べる。

いま両側スラブの中心間距離を B_0 とすると、有効幅Bは $B=nB_0$ で与えられるものとする。

E. Schorsch, W. Schlechなどの研究によれば、パラ

表-5 鉛 直 荷 重 時 C, M_0, Q

	_n G			₄ G			_{3,2,1} G		
	$C(t \cdot m)$	$M_0(t \cdot m)$	$Q(t)$	$C(t \cdot m)$	$M_0(t \cdot m)$	$Q(t)$	$C(t \cdot m)$	$M_0(t \cdot m)$	$Q(t)$
コンクリート自重	185	277	43	185	277	43	185	185	43
仕上 + L.L.	143	215	33	156	235	36	106	106	24
T.L.	328	492	76	341	512	79	291	291	67

座

ラ型プレストレスモーメント、一定曲げモーメントおよび一定軸圧に対して、上記の式における n を 0.9 から 1.0 にとりうることを結論している。

著者等はここで有効幅 B を

$$B = nB_0 \quad n=0.7 \sim 1.0 \quad B=1/4 l \quad l: \text{スパン}$$

のうち小なる方をもって B としている。一般にスラブには開口部（施工時もふくめて）を必要とする場合が多いので、その辺のところを考えに入れて n を決定する。

さらに坂博士²⁾によれば導入後にかかる荷重に対する有効幅もひびわれ発生以前においては、プレストレスのときと同じにとってよいとしている。またひびわれ発生後破壊にいたる過程における有効幅は普通鉄筋コンクリート T 形ばかりの有効幅をとるのが至当としている。著者等もこれに対して同様の扱い方をしているが、ラーメン材応力算定に当り、一つの PC ばかりに対して二つの剛比を用いてラーメン材応力を求めるのは、はなはだ不便であるので便宜上、ラーメン材剛比に対しては普通鉄筋コンクリート規準にしたがっている。かような仮定によった計算値に対して、いまの所大して不合理性を感じていない。

- 1) PC ばかりの断面および諸係数 PC ばかりの断面は 図-4 (r, 4, 3G), 図-5 (r, 4, 3G) に示した。また断面積、断面二次モーメント、断面係数は表-6 に示した。
- 2) プレストレスによる PC ばかりの曲げ変形による節点回点モーメントの算定 一般に左右対称に配筋された PC ばかりにおいて EI が一定ならば

$$M_{P_1} = P/l \cdot S$$

ただし S はプレストレスの作用位置と PC ばかり断面の図心線で囲まれる面積を示し図心線より上を負、下を正としたものである。いま 図-6 (a), 図-6 (b) について

$$S = a(e_a + e_b) + b \cdot e_b$$

$$a = b = l/3 \text{ とすると } S = l/3(e_a + 2e_b)$$

$$\text{よって, } M_{P_1} = P/3(e_a + 2e_b)$$

e_a, e_b, P は 図-5 (a) (_{r, 4, 3}G), 図-5 (b) (_{r, 1}G) に示す値から

$$r, 4, 3 M_P = 570 \times 1/3 \times (0.794 \times 2 + 0.062) = 204 \text{ t} \cdot \text{m}$$

$$r, 1 M_P = 407 \times 1/3 \times (0.783 \times 2 + 0.136) = 231 \text{ t} \cdot \text{m}$$

- 3) プレストレスによる PC ばかりの材長の縮少による節点回点モーメント これはスパンの短い場合には省略することができるが、スパンの長い場合には考慮せねばならない。

表-6 断面の諸係数

	$A \times 10^8 \text{ cm}^2$	$I \times 10^7 \text{ cm}^4$	$Z_{\text{上}} \times 10^5 \text{ cm}^3$	$Z_{\text{下}} \times 10^5 \text{ cm}^3$
端 部	7.95	1.43	2.45	1.85
中 央	11.70	2.67	6.82	2.79

図-4 (a) (r, 4, 3G)

ただし: ● シース位置 × コアの上下の位置
— プレストレス作用位置

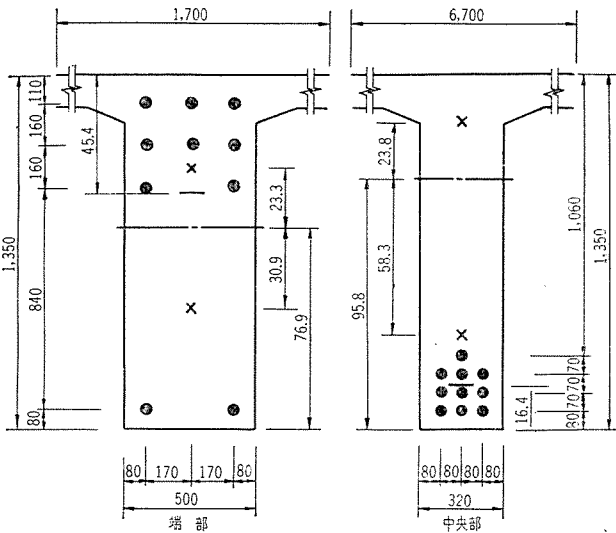


図-4 (b) (2, 1G)

ただし
● シース位置
× 棚上下の位置
— プレストレス作用位置

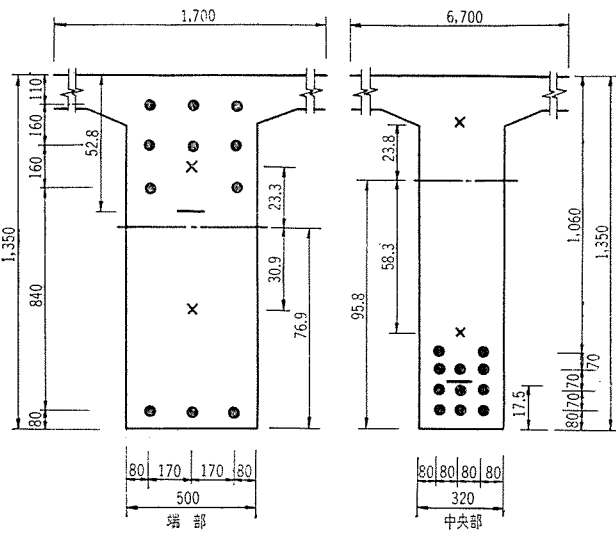


図-5 (a) (r, 4, 3G)

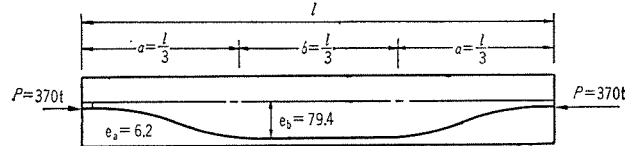
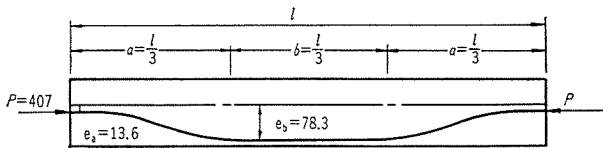


図-5 (b) (2, 1G)



本例については一応検討することにした。

プレストレスによる材長の縮みを δ とすると

表-7

(単位 t·m)

	_r G		_t G		_s G		_z G		₁ G	
	端 部	中 央	端 部	中 央	端 部	中 央	端 部	中 央	端 部	中 央
コンクリート自重 G	+172	-105	+183	-94	+182	-95	+182	-95	+180	-97
(仕上+積載)荷重 P	+133	-82	+154	-81	+104	-54	+104	-54	+103	-55
地震時, 水平力 K	±79		±132		±190		±276		±273	
曲げ変形, 二次応力 M_{P1}	-186		-190		-190		-214		-214	
軸長変形, 二次応力 M_{P2}	-8		-10		-8		-7		-9	
M_P $M_{P1} + M_{P2}$	-194		-200		-198		-221		-223	

表-8

(単位 t·m)

	_r G		_t G		_s G		_z G		₁ G	
	端 部	中 央	端 部	中 央	端 部	中 央	端 部	中 央	端 部	中 央
施工時 $G+M_P$	-22	-299	-17	-294	-16	-293	-39	-316	-43	-320
設計荷重時 $G+P+M_P$	+111	-381	+137	-375	+88	-347	+65	-370	+60	-375
ひびわれ用 $1.3(G+P)+M_P$	+203	-437	+238	-428	+174	-392	+151	-415	+145	-421
曲げ破壊用 $1.2G+2.4P+M_P$	2(G+P)+M_P より小さいので省略する									
曲げ破壊用 $2(G+P)+M_P$	+416	-568	+474	-550	+476	-496	+351	-519	+343	-527
曲げ破壊用 $n(G+P)+1.5K+M_P$	+291 -8		+398 -59		+430 -197		+536 -349		+527 -350	

* $(G+P)$ が K と同方向のとき $n=1.2$, 反対方向のとき $n=1.0$ * 表-7 より $G>P$ したがって $1.2G+2.4P=(1.2G+0.4P)+2P<(1.2G+0.4G)+2P=1.6G+2P<2G+2P$
 $\therefore 1.2G+2.4P<2G+2P$

$$\delta = P/A \cdot l_e/E$$

この δ による材端に起る固定モーメント M_{P2} は,

$$M_{P2}=6EI_h/l_h \cdot \delta/2/l_h=3K_h \cdot l_e/l_h \cdot P/A$$

<添字 l ははりを示し 同 h は柱を示す>

$$\begin{aligned} r_{4.3} M_{P2} &= 3 \times 20.8 \times 10^3 \times 25.7 / 4.8 \times \frac{370 \times 10^3}{11.7 \times 10^3} \\ &\times 10^{-5} = 106 \text{ t·m} \end{aligned}$$

$$\begin{aligned} r_{2.1} M_{P2} &= 3 \times 20.8 \times 10^3 \times 25.7 / 4.8 \times \frac{407 \times 10^3}{11.7 \times 10^3} \\ &\times 10^{-5} = 116 \text{ t·m} \end{aligned}$$

以上の算定より M_{P2} は大きい値となるが, 一方スパンが大きくなれば, はりの剛度は下り, 柱端固定モーメントを開放したときのはりへの伝達量は小さくなる。表-7よりわかるように実際には M_{P1} によるそれの5% 内外となる。

4. ラーメン材応力算定

外力によるラーメン材応力算定は普通RCの場合と同様であるが, 二次応力に対するラーメン材応力算定に当っては, より実際に促した計算を行なうため, 施工順序にしたがって最下層から上層へ向って一層ごとに算定して行かねばならない。その結果を表-7に示す。

つぎに表-7の値より, 施工時の応力度, 設計荷重時の応力度, およびひび割れ曲げモーメントと破壊曲げモーメントとの検討用応力を表-8に示した。以上をもって準備計算を終り, 断面算定については次号にゆずる。

参考文献

- 特許工法第27243号: プレストレストコンクリート技術協会誌 Vol. 5, No. 2 April 1963, p. 36~41 参照
- 坂・六車・岡田: プレストレストコンクリート(朝倉書店刊) pp. 485~488 参照